

182  
C.57 (182)

РОССИЙСКАЯ АКАДЕМИЯ НАУК

# АВТОМАТИКА И ТЕЛЕМЕХАНИКА

(ОТДЕЛЬНЫЙ ОТТИСК)

1999, №2

МОСКВА

# Системы массового обслуживания

УДК 519.262.4

© 1999 г. Т. М. ОВЧИННИКОВА, канд. физ.-мат. наук,  
А. П. ТРИФОНОВ, д-р техн. наук  
(Воронежский государственный университет)

## ОБНАРУЖЕНИЕ И ОЦЕНКА МОМЕНТА ИЗМЕНЕНИЯ НЕИЗВЕСТНОЙ ИНТЕНСИВНОСТИ ПУАССОНОВСКОГО ПОТОКА. II<sup>1</sup>

На основе функций распределения абсолютных максимумов решающей статистики в отсутствие и при наличии изменения интенсивности пуассоновского потока, найденных в [1], получены асимптотические выражения для характеристик обнаружения момента изменения и оценки неизвестных параметров. Сравнение результатов численных расчетов и статистического моделирования на ЭВМ для конкретных значений параметров подтверждает работоспособность синтезированных алгоритмов и позволяет установить границы применимости найденных асимптотических формул для расчета характеристик обработки.

### 1. Введение

В [1] рассмотрен алгоритм максимального правдоподобия обработки пуассоновского потока  $\Xi(t)$  со скачкообразным изменением неизвестной интенсивности, наблюдавшегося на интервале  $[0; T]$ . При гипотезе  $H_0$  (в отсутствие разладки) интенсивность потока имеет вид  $\lambda_0 = a_0 > 0$ . При гипотезе  $H_1$ , т.е. при наличии разладки, интенсивность потока

$$(1) \quad \lambda_1(t, \theta_0) = b_0 s(t, \theta_0) + a_0, \quad s(t, \theta_0) = \begin{cases} 1, & 0 \leq t \leq \theta_0, \\ 0, & t < 0, \quad t > \theta_0, \end{cases}$$
$$\theta_0 \in [T_1; T_2], \quad 0 < T_1 < T_2 < T.$$

Для случая, когда среднее число зарегистрированных точек потока достаточно велико, т.е. выполняется условие

$$(2) \quad \mu = a_0 T_2 \gg 1,$$

получены асимптотически точные выражения для двумерных функций распределения  $F_0(u, v, s)$  (1.17) и  $F_1(u, v, s)$  (1.28), (1.29, а, б) абсолютных максимумов логарифма функционала отношения правдоподобия при гипотезах  $H_0$  и  $H_1$ , соответственно. Здесь и далее для ссылок на формулы из [1] – первой части статьи – используется двойная нумерация.

Воспользуемся найденными выражениями для расчета характеристик обнаружения и совместной оценки максимального правдоподобия неизвестных параметров  $a_0$ ,  $b_0$ ,  $\theta_0$  потока  $\Xi(t)$ .

<sup>1</sup>Приведенные результаты получены при поддержке Российского фонда фундаментальных исследований, грант № 98-01-00090.

## 2. Характеристики обнаружения разладки пуассоновского потока

Если верна гипотеза  $H_0$ , то вероятность ошибки первого рода (ложной тревоги) можно записать как [2–4]

$$(3) \quad P_{10} = P \left[ \sup_{\nu} \tilde{L}_0(\nu) > h \mid H_0 \right] = 1 - F_0(h), \quad \nu \in [\nu^*; 1],$$

где  $\tilde{L}_0(\nu)$  – логарифм функционала отношения правдоподобия в отсутствие разладки потока (1.13),  $\nu = \theta/T_2$  – безразмерный параметр,  $\nu^* = T_1/T_2$ ,  $F_0(h) = F_0(u, v, s)$  при  $u = v = h$  – функция распределения абсолютного максимума  $\tilde{L}_0(\nu)$ , найденная в [1],  $s \in [\nu^*; 1]$ . Используя (3) и (1.17), можем записать приближенное выражение для вероятности ложной тревоги

$$(4) \quad P_{10} \approx \begin{cases} 1 - [\nu^*(\nu^{**} - 1)/(\nu^{**} - \nu^*)]^{\exp(-h)\sqrt{h/\pi}}, & h > 1/2, \\ 1, & h < 1/2, \end{cases} \quad \nu^{**} = T/T_2.$$

Точность этой аппроксимации возрастает с увеличением  $\mu$  и порога  $h$ . В рассматриваемом приближении  $P_{10}(h)$  не зависит от параметра  $\mu$  (2) и интенсивности потока  $a_0$ , так что обнаружитель является асимптотически инвариантным к значениям этих параметров [5].

На рис. 1 сплошной линией нанесена зависимость  $P_{10}(h)$  (4), рассчитанная при  $\nu^* = 0,1$ ;  $\nu^{**} = 1,1$ . Здесь же для сравнения штриховой линией представлена аналогичная зависимость, полученная в [2] для случая обнаружения разладки потока  $\Xi(t)$  с неизвестной величиной скачка интенсивности. Штрихпунктирными линиями показаны приближенные зависимости, найденные в [3] для  $P_{10}(h)$  при обнаружении разладки потока с априори известными значениями интенсивностей до и после момента разладки. Штрихпунктирные кривые рассчитаны при  $\mu = 100$  и обозначены 1 – для  $q = 0,1$ ; 2 –  $q = 1$ ; 3 –  $q = 3$ . Как следует из рис. 1, для сохранения требуемого уровня значимости  $P_{10} = \alpha$  в случае незнания интенсивности потока необходимо значительное увеличение порогового уровня  $h_\alpha$  (1.3).

Если же верна гипотеза  $H_1$ , то вероятность ошибки второго рода (пропуска разладки) представима в виде [5, 6]

$$(5) \quad P_{01} = P \left[ \sup_{\nu} \tilde{L}_1(\nu) < h_\alpha \mid H_1 \right], \quad \nu \in [\nu^*; 1].$$

*Утверждение 1.* Если  $\nu^* > \nu_{\min} = \nu_0 - \sigma^2(\nu_0)/\{c_3 - 2c_1 \ln[(\nu^{**} + \nu_0 q)/\nu^{**}]\}$ , то выражение для вероятности ошибки второго рода (5) запишется как

$$(6, a) \quad P_{10} \approx \frac{1}{\sqrt{2\pi(\sigma_1^2 + c_3(\nu_0 - \nu^*))}} \int_0^\infty \exp \left[ -\frac{[c_1(\nu_0 - \nu^*) + \xi - m_1 - h_\alpha]^2}{2(\sigma_1^2 + c_3(\nu_0 - \nu^*))} \right] \times \\ \times \left\{ \Phi \left[ \frac{[c_1(\nu_0 - \nu^*) + \xi]\sigma_1^2 + (h_\alpha - m_1)c_3(\nu_0 - \nu^*)}{\sqrt{\sigma_1^2 c_3(\nu_0 - \nu^*)[\sigma_1^2 + c_3(\nu_0 - \nu^*)]}} \right] - \right. \\ \left. - \exp \left[ -2 \frac{c_1\sigma_1^2 - (h_\alpha - m_1)c_3}{[\sigma_1^2 + c_3(\nu_0 - \nu^*)]} \xi \right] \times \right. \\ \left. \times \Phi \left[ \frac{[c_1(\nu_0 - \nu^*) - \xi]\sigma_1^2 + (h_\alpha - m_1)c_3(\nu_0 - \nu^*)}{\sqrt{\sigma_1^2 c_3(\nu_0 - \nu^*)[\sigma_1^2 + c_3(\nu_0 - \nu^*)]}} \right] \right\} \Psi(\xi) d\xi,$$

где

$$\Psi(\xi) = \Phi \left[ \frac{c_2(\tilde{\nu}^{**} - \nu_0) + \xi}{\sqrt{c_4(\tilde{\nu}^{**} - \nu_0)}} \right] - \exp \left( -2\xi \frac{c_2}{c_4} \right) \Phi \left[ \frac{c_2(\tilde{\nu}^{**} - \nu_0) - \xi}{\sqrt{c_4(\tilde{\nu}^{**} - \nu_0)}} \right],$$

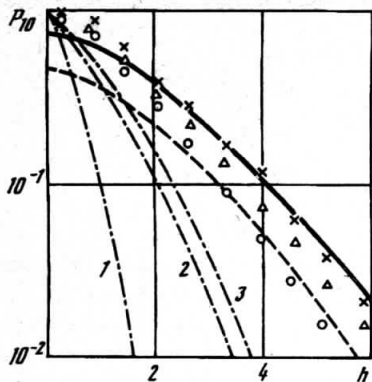


Рис. 1. Вероятность ошибки первого рода

а  $\Phi(x)$  – интеграл вероятности (1.30) [4, 6]. Если же  $\nu^* \leq \nu_{\min}$ , то вероятность ошибки второго рода

$$(6,6) \quad P_{01} \approx \frac{1}{\sqrt{2\pi c_3(\nu_0 - \nu_{\min})}} \int_0^\infty \exp \left[ -\frac{[c_1(\nu_0 - \nu_{\min}) + \xi - m_1^* - h_\alpha]^2}{2c_3(\nu_0 - \nu_{\min})} \right] \times \\ \times \left[ 1 - \exp \left( -\frac{2\xi(h_\alpha - m_1^*)}{c_3(\nu_0 - \nu_{\min})} \right) \right] \Psi(\xi) d\xi.$$

В (6,а,б) обозначено:  $m_1 = S(\nu^*)$ ,  $\sigma_1^2 = \sigma^2(\nu^*)$ ,  $m_1^* = S(\nu_0) - \sigma^2(\nu_0)c_1/\{c_3 - 2c_1 \ln [(\nu^{**} + \nu_0 q)/\nu^{**}]\}$ ,  $\tilde{\nu}^{**} = \min \{1, \nu_0 + \sigma^2(\nu_0)/[c_4 + 2c_2 \ln [(\nu^{**} + \nu_0 q)/\nu^{**}] - 2q(1 + q)]\}$ ,  $S(\nu)$  и  $\sigma^2(\nu)$  определяются из (1.20), (1.21,а,б), а коэффициенты  $c_i$ ,  $i = \overline{1, 4}$  – из (1.25). Точность полученных выражений (6,а,б) возрастает с увеличением  $\mu$  (2) и  $z$  (1.22).

На рис. 2 сплошными линиями нанесены зависимости вероятности ошибки второго рода  $P_{01}(q)$ , рассчитанные по формулам (4), (6,а,б) в соответствии с критерием Неймана–Пирсона [4, 5] при уровне значимости  $\alpha = 10^{-2}$ ;  $\nu^* = 0,1$ ;  $\nu^{**} = 1,1$ . Штриховыми линиями представлены результаты, полученные в [2] для обнаружения разладки с неизвестной величиной скачка интенсивности. Штрихпунктиром показаны зависимости  $P_{01}(q)$ , найденные в [3] при тех же условиях для случая обнаружения разладки априори известной интенсивности потока. Кривые 1 рассчитаны при  $\mu = 10$ ,  $2 - \mu = 100$ ,  $3 - \mu = 500$ .

### 3. Характеристики совместных оценок параметров потока

Если верна гипотеза  $H_0$ , оценка максимального правдоподобия интенсивности потока  $a_{0m}$  определяется согласно (1.8). При этом оценка оказывается несмешенной, а ее распределение записывается как

$$(7) \quad V(a_{0m} | a_0) = \langle (a_{0m} - a_0)^2 \rangle = a_0^2 / \mu \nu^{**}.$$

Положим теперь, что верна гипотеза  $H_1$ , т.е. с вероятностью 1 происходит разладка потока  $\Xi(t)$ . Тогда оценка максимального правдоподобия момента разладки представляет собой положение  $\nu_m$  абсолютного максимума логарифма функционала отношения правдоподобия (1.19) [1, 7]. Плотность вероятности, а также моменты случайной величины  $\nu_m$  можно найти с помощью метода локально-марковской аппроксимации [2, 3, 7, 8].

**Утверждение 2.** В условиях высокой апостериорной точности для смеще-

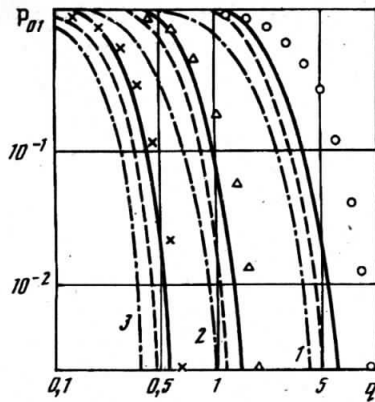


Рис. 2. Вероятность ошибки второго рода

ния и рассеяния нормированной оценки максимального правдоподобия справедливы асимптотические выражения

$$(8) \quad d(\nu_m | \nu_0) = \langle \nu_m - \nu_0 \rangle = [R(R+2)/z_2^2 - (2R+1)/z_1^2]/2(1+R)^2,$$

$$(9) \quad V(\nu_m | \nu_0) = \langle (\nu_m - \nu_0)^2 \rangle = \frac{(2+6R+5R^2)/z_2^4 + (2R^2+6R+5)R/z_1^4}{2(1+R)^3},$$

где

$$(10) \quad z_i^2 = c_i^2/c_{i+2}, \quad i = 1, 2,$$

$R = c_2c_3/c_1c_4$ , а коэффициенты  $c_i$ ,  $i = \overline{1, 4}$  определяются из (1.25). Точность выражений (8), (9) возрастает с увеличением  $\mu$  (2),  $z^2$  (1.22) или  $z_i^2$  (10).

Сопоставляя (8), (9) с результатами, полученными в [2, 3], можно сделать вывод о том, что при больших отношениях сигнал–шум  $z$  и выполнении (2) отсутствие априорной информации об интенсивности пуссоновского потока асимптотически не влияет на характеристики оценки максимального правдоподобия момента ее изменения.

При конечном интервале возможных значений параметра  $\nu_0 \in [\nu^*; 1]$ , рассеяние оценки момента разладки должно быть ограничено сверху, а асимптотическое значение рассеяния (9) с уменьшением  $q$  неограниченно возрастает. Уточним поведение  $V(\nu_m | \nu_0)$  в области малых  $q$ .

**Утверждение 3.** При  $q \rightarrow 0$  для смещения и рассеяния нормированной оценки максимального правдоподобия  $\nu_m$  справедливы асимптотические выражения

$$(11) \quad \begin{aligned} d_0(\nu_m | \nu_0) &= \langle (\nu_m - \nu_0) \rangle = \\ &= \nu^{**} \ln [(\nu^{**} - \nu^*)/(\nu^{**} - 1)] \ln^{-1} [(\nu^{**} - \nu^*)/(\nu^{**} - 1)\nu^*] - \nu_0, \\ V_0(\nu_m | \nu_0) &= \langle (\nu_m - \nu_0)^2 \rangle = \\ &= \nu^{**} \left[ \nu^* - 1 - (\nu^{**} - 2\nu_0) \ln \frac{\nu^{**} - 1}{\nu^{**} - \nu^*} \right] \ln^{-1} \frac{\nu^{**} - \nu^*}{\nu^*(\nu^{**} - 1)} + \nu_0^2. \end{aligned}$$

Таким образом, возвращаясь к исходной переменной  $\theta$ , с учетом априорных ограничений можем записать рассеяние оценки  $\theta_m$  момента разладки потока  $\theta_0$  как

$$(12) \quad V(\theta_m | \theta_0) = T_2^2 \min \{V_0(\nu_m | \nu_0), V(\nu_m | \nu_0)\},$$

где  $V_0(\nu_m | \nu_0)$  определяется из (11), а  $V(\nu_m | \nu_0)$  – из (9).

Зависимости относительного рассеяния оценки максимального правдоподобия момента разладки  $\chi_\theta = V(\theta_m | \theta_0)/T_2^2$  от отношения сигнал–фон  $q = b_0/a_0$ , рассчитанные по формуле (12) при  $\nu_0 = 0,5$ ;  $\nu^* = 0,1$ ;  $\nu^{**} = 1,1$  представлены на рис. 3. Кривая 1 соответствует значению  $\mu = 10$ , 2 –  $\mu = 100$ .

Найденные в [1] двумерные функции распределения  $F_1(u, v, s)$  позволяют выполнить анализ синтезированных алгоритмов совместных оценок интенсивности потока до и после момента ее изменения, а также получить асимптотически точные формулы для характеристик оценок максимального правдоподобия  $a_m$  и  $b_m$  (1.7) интенсивности. Однако эти формулы оказываются весьма громоздкими и неудобными для конкретных расчетов. Тем не менее, анализ этих формул показывает, что для широкого диапазона значений параметров  $q$ ,  $\mu$ ,  $\nu^*$  и  $\nu^{**}$  характеристики оценок интенсивности удовлетворительно аппроксимируются выражениями для смещений и рассеяний оценок  $a_m$  и  $b_m$  при априори известном моменте изменения интенсивности [7, 9].

$$(13) \quad \begin{aligned} d_0(a_m) &= \langle (a_m - a_0) \rangle = d_0(b_m) = \langle (b_m - b_0) \rangle = 0, \\ V_0(a_m) &= \langle (a_m - a_0)^2 \rangle = a_0^2/\mu(\nu^{**} - \nu_0), \\ V_0(b_m) &= \langle (b_m - b_0)^2 \rangle = b_0^2[\nu^{**} + q(\nu^{**} - \nu_0)]/\mu q^2 \nu_0(\nu^{**} - \nu_0). \end{aligned}$$

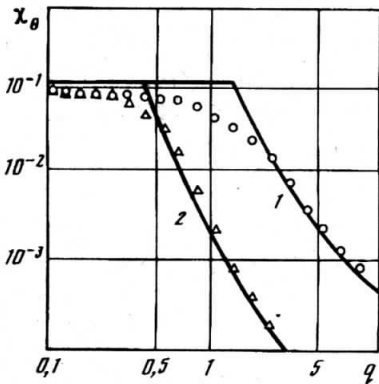


Рис. 3. Рассеяние оценки момента разладки

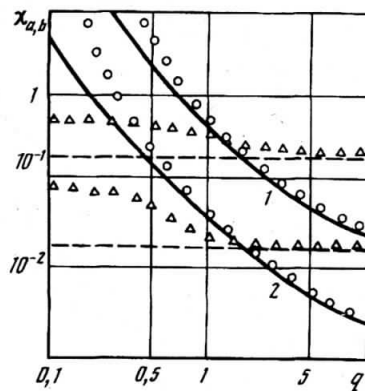


Рис. 4. Рассеяния оценок интенсивностей

Зависимости относительных рассеяний оценок интенсивности  $\chi_a(q) = V_0(a_m)/a_0^2$  и  $\chi_b(q) = V_0(b_m)/b_0^2$ , рассчитанные по формулам (13) при  $\nu^* = 0,1$ ;  $\nu^{**} = 1,1$  приведены на рис. 4 для значений  $\mu = 10$  (кривые 1) и  $\mu = 100$  (кривые 2). Сплошными линиями показаны зависимости  $\chi_b(q)$ , штриховыми —  $\chi_a(q)$ .

#### 4. Результаты статистического моделирования

Расчет характеристик обнаружения и оценки разладки неизвестной интенсивности пуссоновского потока проводился на основе формул, которые получены с использованием различного рода приближений. Оценить их точность аналитическими методами не удается. Известно лишь, что погрешность этих формул уменьшается с увеличением априорного интервала анализа, отношения сигнал–шум  $z$ , параметра  $\mu$  и величины порога обнаружения  $h$ . Поэтому возможность использования найденных формул при конечных значениях этих параметров определялась экспериментально. Эксперимент заключался в статистическом моделировании на ЭВМ алгоритмов обнаружения момента разладки неизвестной интенсивности пуссоновского потока  $\Xi(t)$  и совместной оценки параметров  $a$ ,  $b$  и  $\theta$  потока, синтезированных по методу максимального правдоподобия в [1]. Реализации  $\Xi(t)$  с интенсивностью, соответствующей одной из гипотез  $H_0$  или  $H_1$ , формировались в виде ступенчатой функции с единичными скачками. Согласно [10], последовательность интервалов между скачками потока можно получить с помощью датчика квазислучайных чисел [11] методом обратных функций из последовательности независимых, равномерно распределенных на интервале  $(0, 1)$  квазислучайных чисел. По сформированной таким образом реализации  $\Xi(t)$  в каждой точке ее скачкообразного изменения вычислялась реализация статистики  $L(\theta)$  (1.5) для всех значений  $\theta \in [T_1; T_2]$ . Затем определялись величина и положение наибольшего максимума  $L(\theta)$ . Сравнение величины наибольшего максимума реализаций  $L(\theta)$  с порогом  $h$  позволило определить относительные частоты появления ошибок первого и второго рода при гипотезах  $H_0$  и  $H_1$ , соответственно.

Когда верна гипотеза  $H_1$ , оценка  $\nu_{mi}$  нормированного момента разладки находилась как положение наибольшего максимума  $i$ -й реализации статистики  $L(\theta)$ . Одновременно, согласно (1.7), определялись оценки  $a_{mi}$  и  $b_{mi}$  интенсивностей потока  $\Xi(t)$ . По  $N$  реализациям статистики  $L(\theta)$  рассчитывались выборочные нормированные рассеяния оценок

$$\begin{aligned}\kappa_{\nu} &= \frac{1}{N} \sum_{i=1}^N (\nu_{mi} - \nu_0)^2, \quad \kappa_a = \frac{1}{\mu^2 N} \sum_{i=1}^N (a_{mi} - a_0)^2, \\ \kappa_b &= \frac{1}{\mu^2 q^2 N} \sum_{i=1}^N (b_{mi} - b_0)^2.\end{aligned}$$

Моделирование алгоритмов обнаружения и оценки выполнялось для значений  $\nu^* = 0,05; 0,1; 0,2$ ,  $\nu^{**} = 1,05; 1,1; 1,2$  и  $q = 0,01 - 100$ . Истинное положение момента разладки выбиралось в середине априорного интервала анализа, т.е.  $\theta_0 = T_2/2$  ( $\nu_0 = 0,5$ ). На рис. 1–4 из-за ограниченного объема статьи приведены экспериментальные результаты только для  $\nu^* = 0,1$  и  $\nu^{**} = 1,1$ . Экспериментальные значения вероятностей ошибок первого и второго рода нанесены на рис. 1, 2 и обозначены:  $\circ$  – для  $\mu = 10$ ,  $\Delta$  – для  $\mu = 100$ ,  $\times$  – для  $\mu = 500$ . Экспериментальные значения вероятности ошибки первого рода  $P_{10}$  получены в результате обработки  $N = 5 \cdot 10^3$  реализаций потока  $\Xi(t)$  с интенсивностью  $\lambda_0 = a_0$ . Значения вероятности ошибки второго рода  $P_{01}$  получены в результате обработки  $N = 2 \cdot 10^3$  реализаций потока с интенсивностью (1) для значения порога, определяемого из (4) в соответствии с критерием Неймана–Пирсона при уровне значимости  $\alpha = 10^{-2}$ . Как следует из рис. 1, 2, экспериментальные значения вероятностей ошибок первого и второго рода удовлетворительно аппроксимируются теоретическими зависимостями, рассчитанными по (4), (6, а, б) при  $\mu \geq 100$ .

Экспериментальные значения нормированного рассеяния оценки максимального правдоподобия момента разладки, полученные в результате обработки  $N = 10^3$  реализаций потока с интенсивностью (1), нанесены на рис. 3 в тех же обозначениях, как и на рис. 1, 2. Как следует из рис. 3 рассеяние оценки, рассчитанное по формуле (12), при  $\mu \geq 10$  удовлетворительно согласуется с экспериментальными зависимостями, когда отношение сигнал–шум (1.22)  $z \lesssim 0,7 - 0,8$  или  $z \gtrsim 1,3 - 1,5$ .

На рис. 4 в тех же обозначениях приведены экспериментальные значения нормированных рассеяний оценок интенсивностей  $a_m$  и  $b_m$  (1.7), полученные в результате обработки  $N = 10^3$  реализаций потока  $\Xi(t)$  с интенсивностью (1). Сопоставление экспериментальных и теоретических зависимостей на рис. 4 показывает удовлетворительную точность формул (13) при  $\mu \geq 10$  и  $z \gtrsim 1,3 - 1,5$ .

Для реализованного объема экспериментальной выборки относительная погрешность экспериментальных данных с доверительной вероятностью 0,9 не превышает 15–25% [12].

## 5. Заключение

Теоретическое и экспериментальное исследования алгоритма обнаружения разладки пуассоновского потока позволяют оценить влияние незнания интенсивности потока на эффективность обнаружения. Сопоставление полученных здесь результатов с известными [2, 3] показывает, что незнание интенсивности потока при обнаружении разладки приводит к заметному увеличению вероятности ошибки первого рода. Это требует увеличения порогового отношения сигнал–фон  $q$  в 2–3 раза.

Анализ совместных оценок максимального правдоподобия параметров  $a$ ,  $b$ ,  $\theta$  потока  $\Xi(t)$  показал, что при отношении сигнал–шум  $z \gtrsim 1,3 - 1,5$  отсутствие априорной информации об интенсивности потока не влияет на точность оценки момента разладки. В тех же условиях отсутствие априорной информации о моменте разладки не влияет на точность оценки интенсивностей потока  $a$  и  $b$ .

## ПРИЛОЖЕНИЕ

**Обоснование утверждения 1.** Как отмечается в [1, 4] для расчета вероятности ошибки второго рода при больших отношениях сигнал–шум необходимо

обеспечить высокую точность аппроксимации статистических характеристик логарифма функционала отношения правдоподобия в малой окрестности истинного значения  $\theta_0$  неизвестного параметра. Ухудшение точности аппроксимации за пределами этой окрестности не играет существенной роли. Производные справа и слева математического ожидания  $S(\nu)$  и корреляционной функции  $K_1(\nu_1, \nu_2)$  (1.20) логарифма функционала отношения правдоподобия (1.19) непрерывны при всех  $\nu_1, \nu_2, \nu \in [\nu^*; 1]$ , исключая точку разрыва первого рода  $\nu_0 = \theta_0/T_2$ . Обозначим  $\Delta = \max\{|\nu_1 - \nu_2|, |\nu_1 - \nu_0|, |\nu_2 - \nu_0|\}$ . Полагая  $\Delta \rightarrow 0$ , разложим функции  $S(\nu)$  и  $K_1(\nu_1, \nu_2)$  в степенном ряду по  $\Delta$  справа и слева от точки  $\nu_0$  и отбросим члены порядка малости  $\Delta^2$  и менее. В результате для математического ожидания  $S(\nu)$  и дисперсии  $\sigma^2(\nu) = K_1(\nu, \nu)$  логарифма функционала отношения правдоподобия получим аппроксимации

$$(II.1) \quad S(\nu) = S(\nu_0) + (\nu - \nu_0) \begin{cases} c_1, & \nu < \nu_0, \\ -c_2, & \nu \geq \nu_0, \end{cases}$$

$$\sigma^2(\nu) = \sigma^2(\nu_0) + (\nu - \nu_0) \begin{cases} R_1, & \nu < \nu_0, \\ -R_2, & \nu \geq \nu_0, \end{cases}$$

где  $c_i, i = \overline{1, 4}$  определены в (1.25). Очевидно, что аппроксимации (II.1) можно использовать лишь при тех значениях  $\nu$ , при которых дисперсия неотрицательна, т.е. когда  $\nu_{\min} \leq \nu \leq \nu_{\max}$ , где  $\nu_{\min} = \nu_0 - \sigma^2(\nu_0)/R_1$ ,  $\nu_{\max} = \nu_0 + \sigma^2(\nu_0)/R_2$ .

Поэтому, когда верна гипотеза  $H_1$ , вероятность ошибки второго рода  $P_{01}$  запишем в виде (5), где теперь  $\nu \in [\tilde{\nu}^*; \tilde{\nu}^{**}]$ , а  $\tilde{\nu}^* = \max(\nu^*, \nu_{\min})$ ,  $\tilde{\nu}^{**} = \min(1, \nu_{\max})$ .

Воспользовавшись двумерной функцией распределения  $\tilde{F}_1 = (u, v, s; \nu_1, \nu_2)$  (1.29), с учетом аппроксимации (II.1) получаем для  $P_{01}$  выражение

$$(II.2) \quad P_{01} = \tilde{F}_1(h_\alpha, h_\alpha, \tilde{\nu}^{**}; \tilde{\nu}^*, \tilde{\nu}^{**}).$$

Однако чтобы по этой формуле рассчитать вероятность ошибки второго рода, надо задать явный вид начальной плотности вероятности логарифма функционала отношения правдоподобия  $\tilde{L}_1(\nu)$  (1.19). Если  $\nu^* > \nu_{\min}$ , то начальная гауссовская плотность вероятности имеет математическое ожидание  $m_1 = S(\nu^*)$  (1.20) и дисперсию  $\sigma_1^2 = \sigma^2(\nu^*)$  (1.21,а), так что

$$W_1(x) = \exp [-(x - m_1)^2 / 2\sigma_1^2] / \sqrt{2\pi\sigma_1^2}.$$

Если же  $\nu^* < \nu_{\min}$ , то начальная плотность вероятности вырождается в дельта-функцию, расположенную в точке  $m_1^* = S(\nu_0) - \sigma^2(\nu_0)c_1/R_1$ , т.е.  $W_1(x) = \delta(x - m_1^*)$ . Подставляя найденные начальные плотности вероятности в (1.29,а,б) и затем (1.29) в (II.2), получаем (6,а) при  $\nu^* > \nu_{\min}$  и (6,б) при  $\nu^* \leq \nu_{\min}$ .

*Обоснование утверждения 2.* Плотность вероятности случайной величины  $\nu_m$  можно выразить через двумерную функцию распределения  $F_1(u, v, s)$  (1.28) как [2, 7, 8]

$$(II.3) \quad W(\nu_m) = \int_0^\infty [\partial^2 F_1(u, v, s) / \partial u \partial s]_{v=u, s=\nu_m} du.$$

Подставляя полученные в [1] выражения для функций распределения (1.28), (1.29,а,б) и выполняя в (II.3) соответствующие преобразования, получаем при  $\nu_m < \nu_0$

$$(II.4,а) \quad W(\nu_m) = \int_0^\infty \frac{\xi F_1(\xi)}{\pi c_3^2[(\nu_0 - \nu_m)(\nu_m - \tilde{\nu}^*)]^{3/2}} \exp \left[ -\frac{\xi^2}{2c_3(\nu_m - \tilde{\nu}^*)} + \frac{c_1\xi}{c_3} \right] d\xi \times$$

$$\times \int_0^\infty \Psi(\xi_1) \xi_1 \exp \left[ -\frac{\xi_1^2}{2c_3(\nu_0 - \nu_m)} - \frac{c_1 \xi_1}{c_3} - \frac{c_1^2(\nu_m - \tilde{\nu}^*)}{2c_3} \right] d\xi_1$$

и при  $\nu_m \geq \nu_0$

$$\begin{aligned}
 (\text{II.4,б}) \quad W(\nu_m) = & \int_0^\infty \frac{2c_2 F_1(\xi)}{c_4 \sqrt{2\pi} [c_4(\nu_m - \nu_0) + c_3(\nu_0 - \tilde{\nu}^*)]^{3/2}} \times \\
 & \times \exp \left[ -\frac{[\xi - c_1(\nu_0 - \tilde{\nu}^*) - c_2(\nu_m - \nu_0)]^2}{2[c_3(\nu_0 - \tilde{\nu}^*) + c_4(\nu_m - \nu_0)]} \right] \times \\
 & \times \left\{ [\xi c_4 - (\nu_0 - \tilde{\nu}^*)(c_1 c_4 + c_2 c_3)] \times \right. \\
 & \times \Phi \left[ \frac{[\xi c_4 - (\nu_0 - \tilde{\nu}^*)(c_1 c_4 + c_2 c_3)] \sqrt{\nu_m - \nu_0}}{\sqrt{c_3 c_4 (\nu_0 - \tilde{\nu}^*) [c_3 (\nu_0 - \tilde{\nu}^*) + c_4 (\nu_m - \nu_0)]}} \right] + \\
 & + [\xi c_4 + (\nu_0 - \tilde{\nu}^*)(c_1 c_4 + c_2 c_3)] \times \\
 & \times \Phi \left[ -\frac{[\xi c_4 + (\nu_0 - \tilde{\nu}^*)(c_1 c_4 + c_2 c_3)] \sqrt{\nu_m - \nu_0}}{\sqrt{c_3 c_4 (\nu_0 - \tilde{\nu}^*) [c_3 (\nu_0 - \tilde{\nu}^*) + c_4 (\nu_m - \nu_0)]}} \right] \times \\
 & \times \exp \left[ 2\xi \frac{(c_1 c_4 + c_2 c_3)(\nu_m - \nu_0)}{c_3 [c_3 (\nu_0 - \tilde{\nu}^*) + c_4 (\nu_m - \nu_0)]} \right] \left\{ \Phi \left[ \frac{c_2}{\sqrt{c_4}} \sqrt{\tilde{\nu}^{**} - \nu_m} \right] + \right. \\
 & \left. + \sqrt{c_4} \exp \left[ -c_2^2 (\tilde{\nu}^{**} - \nu_m) / 2c_4 \right] / c_2 \sqrt{2\pi (\tilde{\nu}^{**} - \nu_m)} \right\} d\xi.
 \end{aligned}$$

Здесь

$$F_1(\xi) = \int_{-\infty}^\xi W_1(x) dx.$$

Положим, что для (10) выполняются условия

$$(\text{II.5}) \quad z_i^2 \gg 1, \quad i = 1, 2,$$

эквивалентные условию (2) высокой апостериорной точности. Введем новую нормированную переменную

$$(\text{II.6}) \quad \varkappa = \begin{cases} z_1^2(\nu_m - \nu_0), & \tilde{\nu}^* \leq \nu_m < \nu_0, \\ z_2^2(\nu_m - \nu_0), & \nu_0 \leq \nu_m \leq \tilde{\nu}^{**}, \end{cases}$$

которая принимает значения из интервала  $[-z_1^2(\nu_0 - \tilde{\nu}^*); z_2^2(\tilde{\nu}^{**} - \nu_0)]$ . Переходим в (II.4,а,б) от переменной  $\nu_m$  к переменной  $\varkappa$  (II.6) и найдем предел плотности вероятности нормированной ошибки оценки при  $z_i \rightarrow \infty$ . Получаем

$$\begin{aligned}
 (\text{II.7}) \quad W(\varkappa) = & 2 \left\{ \Phi \left[ \sqrt{|\varkappa|} \right] - 1 + \right. \\
 & \left. + (1 + 2G) \exp [2G(1 + G)|\varkappa|] \left[ 1 - \Phi \left[ (1 + 2G)\sqrt{|\varkappa|} \right] \right] \right\},
 \end{aligned}$$

где  $G = 1/R$  при  $-\infty < \varkappa < 0$  и  $G = R$  при  $0 \leq \varkappa < \infty$ ,  $R = c_2 c_3 / c_1 c_4$ . Используя предельную плотность вероятности нормированной ошибки оценки (II.7),

найдем два первых ее момента. Возвращаясь затем согласно (П.6) к ошибке  $\nu_m - \nu$  оценки  $\nu_m$ , получаем асимптотические выражения для смещения и рассеяния оценки максимального правдоподобия (8) и (9).

**Обоснование утверждения 3.** Разложим  $\tilde{L}_1(\nu)$  (1.18) в двумерный ряд Маклорена по малым параметрам  $\varepsilon$  и  $q$ . Удерживая члены второго порядка малости, получим

$$(П.8) \quad \tilde{L}_1(\nu) = L_1(\nu, \varepsilon, q) = [\mu/2(\nu^{**} - \nu)] \times \\ \times \left\{ q [\nu^{**} \min(\nu, \nu_0) - \nu \nu_0] / \sqrt{\nu \nu^{**}} + [y(\nu) \sqrt{\nu^{**}} - x \sqrt{\nu}] \varepsilon \right\}^2 + o(\varepsilon^2, q^2, \varepsilon q).$$

Здесь  $y(\nu)$  и  $x$  определены в (1.10) и (1.11), соответственно. При  $q \rightarrow 0$  (П.8) совпадает с выражением (1.13) для логарифма функционала отношения правдоподобия в отсутствие разладки потока  $\Xi(t)$ . Подставив в (П.3) двумерную функцию распределения  $F_0(u, v, s)$  (1.17) вместо  $F_1(u, v, s)$  и выполнив необходимые операции дифференцирования и интегрирования, получим предельную плотность вероятности оценки нормированного момента разладки  $\nu_m$  при  $q \rightarrow 0$  в виде

$$(П.9) \quad W_0(\nu_m) = \nu^{**} \{ \nu_m (\nu^{**} - \nu_m) \ln[(\nu^{**} - \nu^*)/\nu^*(\nu^{**} - 1)] \}^{-1}, \\ \nu_m \in [\nu^*; 1].$$

Воспользовавшись (П.9), находим явные выражения (11) для смещения  $d_0(\nu_m | \nu_0)$  и рассеяния  $V_0(\nu_m | \nu_0)$  оценки максимального правдоподобия параметра  $\nu_m$ , когда  $q \rightarrow 0$ .

#### СПИСОК ЛИТЕРАТУРЫ

1. Трифонов А. П., Овчинникова Т. М. Обнаружение и оценка момента изменения неизвестной интенсивности пуассоновского потока. I // АиТ. 1999. № 1. С. 66–76.
2. Trifonov A. P., Buteiko V. K., Bokk G. O. Efficiency of testing of the change in the Poisson flow intensity // Second IFAC Symposium on Stochastic Control, Vilnius, USSR, 1986. Preprints. Part II. Р. 249–254.
3. Галун С. А., Трифонов А. П. Обнаружение и оценка момента изменения интенсивности пуассоновского потока // АиТ. 1982. № 6. С. 95–105.
4. Трифонов А. П. Обнаружение сигналов с неизвестными параметрами // Теория обнаружения сигналов. М.: Радио и связь, 1984. С. 12–89.
5. Леман Э. Проверка статистических гипотез. М.: Наука, 1978.
6. Трифонов А. П., Нечаев Е. П., Парфенов В. И. Обнаружение стохастических сигналов с неизвестными параметрами. Воронеж: ВГУ, 1991.
7. Трифонов А. П., Овчинникова Т. М. Совместная оценка момента изменения и величины неизвестной интенсивности пуассоновского потока // Статистические проблемы управления. Вильнюс, 1990. Вып. 89. С. 94–100.
8. Трифонов А. П., Шинаков Ю. С. Совместное различие сигналов и оценка их параметров на фоне помех. М.: Радио и связь, 1986.
9. Обнаружение изменения свойств сигналов и динамических систем: Пер. с англ. / Под ред. М. Бассвиль, А. Банвениста. М.: Мир, 1989.
10. Бусленко Н. П. Метод статистического моделирования. М.: Статистика, 1970.
11. Форсайт Дж., Малькольм М., Моулер К. Машины методы математических вычислений. М.: Мир, 1980.
12. Вентцель Е. С., Овчаров Л. А. Теория вероятностей и ее инженерные приложения. М.: Наука, 1988.

Поступила в редакцию 30.06.97